♦ КРАТКИЕ СООБЩЕНИЯ ♦

УДК 531.383:621.375.8 EDN WUICMV

А. С. АЛЕЙНИК, С. А. ВОЛКОВСКИЙ, В. С. ОШЛАКОВ, А. Б. МУХТУБАЕВ, В. Е. СТРИГАЛЕВ

ВОЛОКОННО-ОПТИЧЕСКИЙ ГИРОСКОП НАВИГАЦИОННОГО КЛАССА ТОЧНОСТИ С ЛАЗЕРНЫМ ИСТОЧНИКОМ ОПТИЧЕСКОГО ИЗЛУЧЕНИЯ

Постоянство масштабного коэффициента волоконно-оптического гироскопа (ВОГ) напрямую зависит от стабильности центральной длины волны источника оптического излучения. Широкополосные высокостабильные источники высокоточных ВОГ хоть и обеспечивают необходимую стабильность иентральной длины волны, отличаются довольно большими габаритами, что усложняет миниатюризацию ВОГ и систем на их основе. В настоящей работе рассмотрено применение полупроводникового лазерного диода с частотно-импульсной токовой модуляцией в составе ВОГ навигационного класса точности. Показано, что в этом случае обеспечивается высокая стабильность иентральной длины волны излучения лазерного диода (не хуже 1,6 ррт), а уровень шума и дрейф нуля $BO\Gamma$ достигают $0{,}002$ $^{\circ}/^{1/2}$ и $0{,}009$ $^{\circ}/^{4}$ соответственно. Сопоставимые результаты можно получить при использовании в ВОГ широкополосных высокостабильных источников.

Ключевые слова: источники оптического излучения, спектральные характеристики, волоконно-оптический гироскоп, стабильность масштабного коэффициента.

Алейник Артем Сергеевич. Кандидат технических наук, доцент, заведующий лабораторией НИЦ световодной фотоники. Университет ИТМО (С.-Петербург).

Волковский Сергей Александрович. Научный сотрудник НИЦ световодной фотоники, Университет итмо

Ошлаков Вадим Сергеевич. Начальник группы НИЦ световодной фотоники, Университет ИТМО. **Мухтубаев** Азамат Булатович. Кандидат технических наук, заведующий лабораторией НИЦ световодной фотоники, Университет ИТМО.

Стригалев Владимир Евгеньевич. Кандидат физико-математических наук, доцент, старший научный сотрудник, НИЦ световодной фотоники, Университет ИТМО.

1. Введение, общие положения

Принцип действия ВОГ [1] основан на эффекте Саньяка, возникающем в кольцевом волоконно-оптическом интерферометре. Эффект проявляется в виде фазового сдвига между оптическими волнами, которые распространяются по интерферометру в противоположных направлениях. Возникающий фазовый сдвиг $\Delta \phi$ (разность фаз Саньяка) пропорционален скорости вращения интерферометра вокруг своей оси Ω и определяется соотношением

$$\Delta \varphi = M\Omega \,, \tag{1}$$

где M — масштабный коэффициент (коэффициент преобразования) ВОГ, определяемый выражением

 $M = \frac{4\pi R L}{\lambda c},\tag{2}$

где λ — длина волны источника излучения, м; c — скорость света в вакууме, м/с; R — радиус контура кольцевого интерферометра, м; L — длина оптического волокна в контуре.

Масштабный коэффициент ВОГ, как видно из (2), обратно пропорционален длине волны источника излучения λ , которая для симметричных спектров гауссовской формы в частотной области практически совпадает с длиной волны, где спектральная плотность мощности излучения максимальна. При использовании широкополосного источника оптического излучения необходимо уточнить параметр λ [2]. Реальные источники могут иметь несимметричные спектры негауссовской формы, и в общем случае следует задействовать средневзвешенную длину волны (СДВ – λ_{mw}), определяемую как

$$\lambda_{mw} = \frac{c}{v_{mw}} = c \cdot \left(\frac{\sum_{i=1}^{n} v_i \cdot P_i \cdot (v_i - v_{i-1})}{\sum_{i=1}^{n} P_i (v_i - v_{i-1})} \right)^{-1}, \tag{3}$$

где v_{mw} — средневзвешенная частота (Γ ц), которая задается выражением в скобках; P_i — мощность оптического излучения (Bт); v — частота оптического излучения (Γ ц); c — скорость света в вакууме, м/с; n — общее количество шагов дискретизации по частоте спектра оптического излучения, соответствующее разрешающей способности оптического спектроанализатора. Смещения и флуктуации СДВ возникают в результате температурных и механических воздействий на источник, а также вследствие его старения.

Для ВОГ навигационного класса точности требуется стабильность СДВ на уровне 1 ppm с учетом влияния всех внешних воздействующих факторов, среди которых температура полупроводниковой структуры, ток накачки и др. [3]. Наиболее часто в состав таких гироскопов входят эрбиевые суперлюминесцентные волоконные источники оптического излучения (ЭСВИОИ). Их широкий спектр и, как следствие, малая длина когерентности излучения позволяют эффективно подавлять паразитные интерференционные сигналы, вызванные обратными отражениями и обратным рассеянием [3–5] в волоконно-оптическом контуре. Из недостатков ЭСВИОИ стоит выделить высокий относительный амплитудный шум (Relative Intensity Noise – RIN), напрямую повышающий уровень случайного блуждания угла (СБУ) ВОГ. Кроме того, применение активного легированного оптического волокна в конструкции ЭСВИОИ накладывает ограничения на минимизацию габаритов таких устройств. Для поддержания стабильности СДВ ЭСВИОИ, а также для компенсации влияния амплитудного

шума используются различные аппаратные и алгоритмические решения, что дополнительно увеличивает размеры источников и их энергопотребление [6–9].

Полупроводниковые лазерные диоды, в частности лазеры с распределенной обратной связью (РОС-лазеры), напротив, компактны, обладают низким RIN (ниже $-157~{\rm дБ/\Gamma ц}$) [10] и более устойчивой СДВ при длительной работе, однако высокая временная когерентность их излучения приводит к тому, что в выходном сигнале ВОГ доминируют шумы, вызванные паразитной интерференцией [11].

Одно из возможных решений этой проблемы – уменьшение длины когерентности излучения с помощью фазовой модуляции широкополосным шумоподобным сигналом [12–15], что позволяет получить ВОГ с СБУ и дрейфом нуля, соответствующими критериям навигационного класса, а также со стабильностью СДВ 1 ррт и лучше. Недостатками описанного метода являются существенное усложнение оптической и электронной части (сопровождающееся снижением надежности и ростом стоимости) и необходимость тонкой настройки глубины фазовой модуляции для подавления оптической несущей и преобразования спектра, что влечет за собой повышение требований к частотной полосе модулятора и мощности модулирующего сигнала.

В [16] рассматривается применение в качестве источника излучения в ВОГ с открытым контуром РОС-лазера, благодаря частотно-импульсной токовой модуляции которого удалось уменьшить длину когерентности излучения на два порядка – с более чем 100 до 2,5 мм. При этом СБУ составило 0,002 $^{\circ}/^{1/2}$, стабильность СДВ – 1,3 ppm, дрейф нуля – 0,047 $^{\circ}/^{4}$, что удовлетворяет критериям ВОГ тактического класса точности.

Современные ВОГ навигационного класса точности построены на основе схемы с замкнутым контуром, которая в сочетании с долговременной стабильностью и низким RIN лазерного источника может послужить альтернативным путем развития высокоточных ВОГ. Его применение требует значительного снижения длины временной когерентности в интерферометрической схеме ВОГ.

В настоящей работе исследованы основные точностные характеристики ВОГ с замкнутым контуром, в качестве источника излучения использован полупроводниковый лазерный диод с частотно-импульсной токовой модуляцией для повышения стабильности масштабного коэффициента гироскопа. Выполнена сравнительная оценка предложенной конфигурации ВОГ с лазерным источником с конфигурацией на основе ЭСВИОИ, полученные характеристики сопоставлены с требованиями к ВОГ навигационного класса точности.

2. Частотно-импульсная токовая модуляция РОС-лазера

Как известно, прямая токовая модуляция РОС-лазера может приводить к появлению частотной модуляции, что, в свою очередь, вызывает расширение огибающей спектра излучения. Прямая частотно-импульсная токовая модуляция РОС-лазера [17–18] основана на применении импульсного тока накачки высокой мощности, в результате чего температурный сдвиг центральной длины волны лазера при кратковременном разогреве активной области на кристалле может достигать 10 нм.

В исследовании был задействован полупроводниковый РОС-лазер с номинальной центральной длиной волны 1541,75 нм, максимальной выходной оптической мощностью 20 мВт, RIN величиной -145 дБ/ Γ ц, шириной спектральной линии менее 2 М Γ ц и встроенным элементом Пельтье для термостабилизации.

На лазерный диод подавались токовые прямоугольные импульсы частотой 130 кГц (соответствует удвоенной собственной частоте волоконно-оптического контура) и длительностью 1 мкс. Несмотря на то что величина тока в импульсах была на несколько порядков больше рабочего тока РОС-лазера (40 мА) и составляла 1 А, в силу кратковременности такого воздействия тепловой диод не повреждается, а расширение спектра за счет частотной модуляции было приблизительно 0,5 нм (рис. 1).

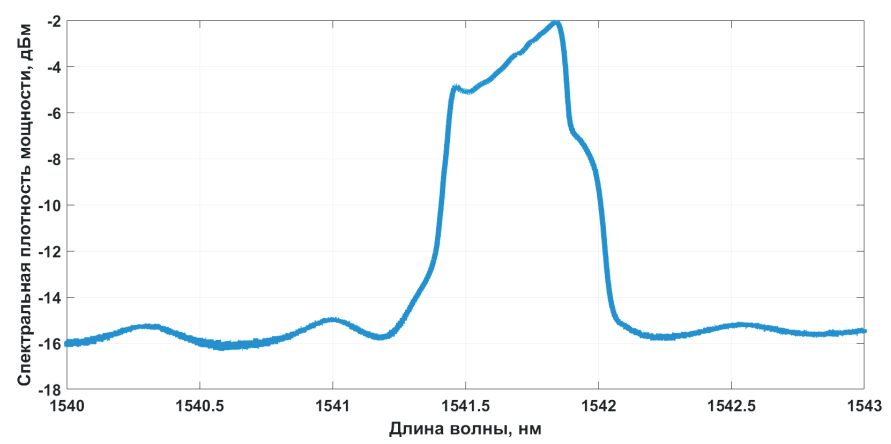


Рис. 1. Огибающая спектра излучения РОС-лазера с частотно-импульсной токовой модуляцией; разрешающая полоса спектроанализатора — 0,03 нм

Огибающая спектра излучения РОС-лазера с частотно-импульсной токовой модуляцией регистрировалась оптическим спектроанализатором Yokogawa AQ6370C.

3. Принцип работы ВОГ с замкнутым контуром с РОС-лазером в качестве источника оптического излучения

Функциональная схема ВОГ с замкнутым контуром с предложенным методом генерации оптического излучения, описанным в [14], представлена на рис. 2.

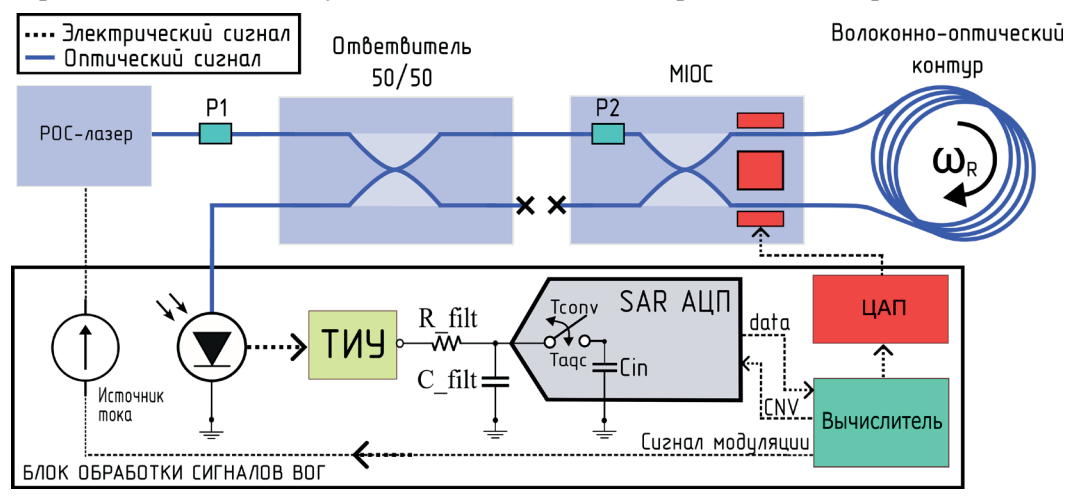


Рис. 2. Блок-схема ВОГ с РОС-лазером в качестве источника оптического излучения; Р1 и Р2 – поляризаторы; МІОС – многофункциональная интегрально-оптическая схема; ТИУ – трансимпедансный усилитель; SAR АЦП – аналого-цифровой преобразователь; ЦАП – цифроаналоговый преобразователь

Импульс оптического излучения РОС-лазера проходит через поляризатор Р1 и поступает на вход X-разветвителя с сохранением состояния поляризации оптического излучения, в котором делится на два плеча — измерительное и опорное. Через измерительное плечо излучение поступает на вход многофункциональной интегрально-оптической схемы (МІОС на рис. 2), где разделяется по мощности на две равные части. Распространяющееся в волоконном контуре оптическое излучение в обоих направлениях за счет эффекта Саньяка приобретает разность фаз, пропорциональную скорости вращения. На выходе контура импульсы излучения интерферируют, результат интерференции детектируется фотоприемным трактом ВОГ.

Так как центральная длина волны РОС-лазера при частотно-импульсной токовой модуляции смещается в течение каждого импульса, выходной сигнал фотодетектора пропорционален общему фототоку, возникающему при облучении фотодиода потоком фотонов разных длин волн. Регистрируемый отклик интерферометра в такой схеме эквивалентен отклику, полученному при использовании источника излучения с меньшей, чем у РОС-лазера, эффективной длиной когерентности. Последняя зависит от кривой контраста, которая является результатом усреднения большого набора отдельных кривых контраста для различных длин волн излучения РОС-лазера в разные моменты времени [16].

Сигнал с фотоприемного тракта далее проходит через АЦП и попадает в блок цифровой обработки сигналов платы ВОГ, который вычисляет скорость вращения и вырабатывает компенсационный сигнал, преобразуемый ЦАП в управляющий сигнал для электрооптического фазового модулятора. Сигнал обеспечивает смещение рабочей точки интерферометра в точку квадратуры и компенсирует фазу Саньяка за счет пилообразной импульсной модуляции [1]. Частота модуляции лазера синхронизирована с частотой модуляции блока обработки сигналов и совпадает с удвоенной собственной частотой ВОГ (130 кГц).

4. Результаты измерений

Значения угловой скорости фиксировались при размещении ВОГ на неподвижном основании при комнатной температуре. На рис. 3 представлена выборка сигналов ВОГ в течение 2 с с частотой выдачи 50 Гц с прямой частотно-импульсной токовой модуляцией РОС-лазера и ВОГ с ЭСВИОИ ESS30 [19] с компенсацией избыточного шума.

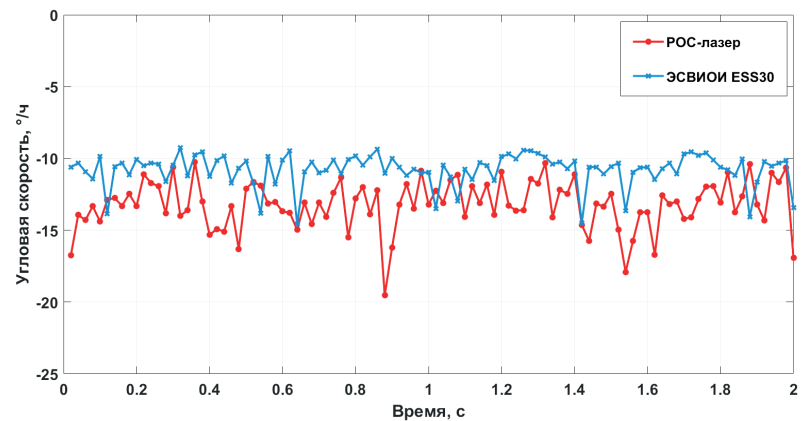


Рис. 3. Выборки сигналов ВОГ с ЭСВИОИ ESS30 и ВОГ с прямой частотно-импульсной токовой модуляцией РОС-лазера

Стандартные отклонения по каждой из двух выборок сопоставимы и составляют $1,2\,^{\circ}/^{4^{1/2}}$ для ВОГ с ESS30 и $1,9\,^{\circ}/^{4^{1/2}}$ для ВОГ на основе РОС-лазера. Эти показатели достигнуты благодаря предложенному методу и малой величине RIN РОС-лазера.

На рис. 4 представлены результаты вычисления вариации Аллана по выборкам выходных сигналов ВОГ длительностью 8 часов для конфигураций с ЭСВИОИ ESS30 и с прямой частотно-импульсной токовой модуляцией РОС-лазера. СБУ ВОГ по интервалу усреднения 1 с для обеих конфигураций близки — $0,002\,^{\circ}/^{1/2}$ и $0,001\,^{\circ}/^{1/2}$ соответственно, что удовлетворяет требованиям к ВОГ навигационного класса точности [1]. Стоит отметить, что отключение компенсации избыточного шума ВОГ с ЭСВИОИ приводит к повышению СБУ в 3-5 раз [19], кроме того, такая конфигурация проигрывает ВОГ с РОС-лазером по уровню СБУ и по габаритам.

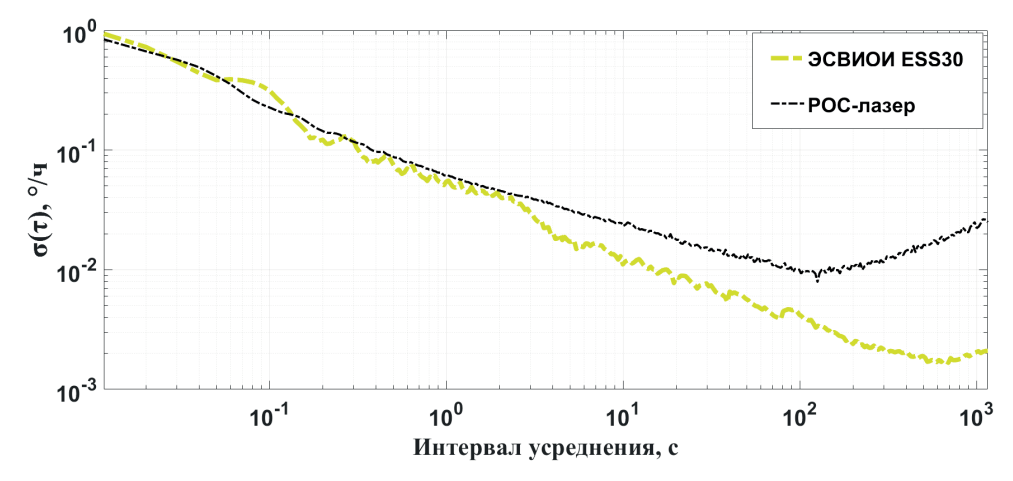


Рис. 4. Вариация Аллана σ(τ) для ВОГ с РОС-лазером и с SFS ESS30; τ – интервал усреднения

На рис. 5. показан дрейф СДВ РОС-лазера, термостабилизированного при помощи встроенного элемента Пельтье. Измерения были проведены при комнатной температуре с помощью спектроанализатора высокого разрешения.

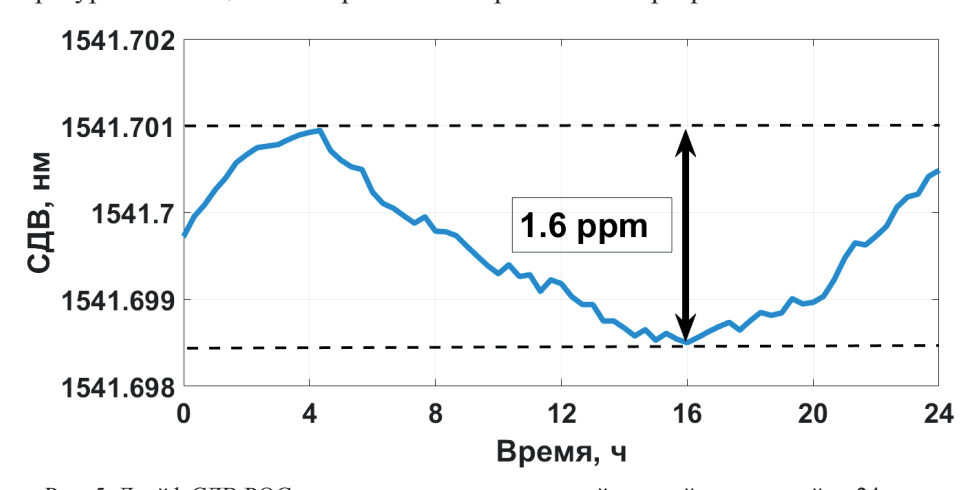


Рис. 5. Дрейф СДВ РОС-лазера с частотно-импульсной токовой модуляцией за 24 часа

Дрейф СДВ РОС-лазера при комнатной температуре не превышает 1,6 ppm, что соответствует критериям ВОГ навигационного класса точности. В таблице пред-

ставлены основные сравнительные характеристики ВОГ навигационного класса точности в конфигурациях на основе ESS30 в постоянном режиме с компенсацией избыточного шума и на основе РОС-лазера.

Таблица

Сравнительные результаты измерений

Источник излучения	СБУ, °/ч¹/2	Дрейф нуля, °/ч	СДВ, ррт
Критерии ВОГ навигационного класса точности	<0,005	<0,01	<5
РОС-лазер	0,002	0,009	1,6
ЭСВИОИ ESS30	0,001	0,005	>5

Невысокий уровень СБУ и дрейфа нуля при использовании РОС-лазера являются следствием двух причин. Во-первых, РОС-лазер изначально имеет низкий RIN, что непосредственно влияет на СБУ. Во-вторых, расширение огибающей спектра за счет быстрой перестройки центральной длины волны лазера с импульсной модуляцией позволяет уменьшить вклад в сигнал ВОГ ложных интерференционных сигналов, не связанных с угловой скоростью.

Заключение

В работе представлены точностные характеристики ВОГ навигационного класса точности с используемым в качестве источника излучения РОС-лазером с прямой частотно-импульсной токовой модуляцией. В рамках экспериментального исследования ВОГ на неподвижном основании при комнатной температуре получены значения угловой скорости за 8 часов с частотой регистрации $100\,\Gamma$ ц с двумя источниками оптического излучения – РОС-лазера и ЭСВИОИ. Рассчитана вариация Аллана по полученной выборке. Величина СБУ гироскопа на основе РОС-лазера составляет $0.002^{\circ}/\mathrm{q^{1/2}}$, дрейфа – $0.009^{\circ}/\mathrm{q}$ (при $\tau=100$ с) при стабильности средневзвешенной длины волны 1.6 ррт, что удовлетворяет критериям ВОГ навигационного класса точности. Уровень долгосрочного дрейфа ВОГ при этом остается довольно высоким, для его снижения необходимы дополнительные исследования и поиск технических решений, которые позволят уменьшить длину когерентности оптического излучения РОС-лазера до длины когерентности ЭСВИОИ. Одним из возможных путей может быть применение массива РОС-лазеров, чтобы перекрыть более широкий спектральный диапазон при прямой частотно-импульсной токовой модуляции.

Исследование выполнено за счет гранта Российского научного фонда No 25-12-20017, https://rscf.ru/project/25-12-20017/, за счет гранта Санкт-Петербургского научного фонда

ЛИТЕРАТУРА

- 1. Lefèvre, H., The Fiber-Optic Gyroscope, Artech House, 2014.
- 2. Егоров Д.А., Ключникова Е.Л., Унтилов А.А., Алейник А.С., Волковский С.А., Кузнецов В.Н., Ошлаков В.С., Погудин Г.К., Лиокумович Л.Б. Источники оптического излучения для волоконно-оптических гироскопов // Гироскопия и навигация. 2024. Т. 32. №. 2. С. 8–34. EDN DMBMAR.
- 3. Wysocki, P.F., Digonnet, M.J.F., Kim, B.Y., and Shaw, H.J., Characteristics of erbium-doped superfluorescent fiber sources for interferometric sensor applications, *Journal of Lightwave Technology*, 1994, vol. 12, no. 3, pp. 550–567.
- 4. Cutler, C. C., Newton, S.A., and Shaw, H. J., Limitation of rotation sensing by scattering, *Opt. Lett.*, 1981, vol. 5, pp. 488–490.
- 5. Bergh, R.A., Culshaw, B., Cutler, C.C., Lefevre, H.C., and Shaw, H.J., Source statistics and the Kerr effect in fiber-optic gyroscopes, *Opt. Lett.*, 1982, vol. 7, no. 11, p. 563.
- Aleinik, A., Deineka, I., Smolovik, M., Neforosnyi, S., and Rupasov, A., Compensation of excess RIN in fiber-optic gyro, *Gyroscopy and Navigation*, 2016, no. 7, pp. 214–222.
- 7. **Guattari, F., Chouvin, S., Moluçon, C., and Lefèvre, H.,** A simple optical technique to compensate for excess RIN in a fiber-optic gyroscope, *DGON Inertial Sensors and Systems (ISS)*, Karlsruhe, Germany, 2014, pp. 1–14, doi: 10.1109/InertialSensors.2014.7049411.
- 8. Zalesskaia, I. K. et al., Methods of Stabilization of Central Wavelength of Erbium-Doped Fiber Source for High-Accuracy Fiber Optic Gyroscope, *International Conference Laser Optics (ICLO)*, St. Petersburg, Russia, 2020, pp. 1–1, doi: 10.1109/ICLO48556.2020.9285493.
- Kikilich, N.E. et al., Stabilization of the mean wavelength of an erbium-doped fiber source as part of high-accuracy FOG with increased spectrum width, Appl. Opt., 2022, 61, 6827–6833.
- 10. Zhao, Y.-G., et al., High-power and low-noise DFB semiconductor lasers for RF photonic links, IEEE Avionics, Fiber-Optics and Photonics Digest CD, Cocoa Beach, FL, USA, 2012, pp. 66–67, doi: 10.1109/AVFOP.2012.6344081.
- **11. Lloyd, S.W., Digonnet, M.J.F., and Fan, S.,** Modeling Coherent Backscattering Errors in Fiber Optic Gyroscopes for Sources of Arbitrary Line Width, *Journal of Lightwave Technology*, 2013, vol. 31, no. 13, pp. 2070–2078.
- **12.** Wheeler, J.M. and Digonnet, M.J.F., A Low-Drift Laser-Driven FOG Suitable for Trans-Pacific Inertial Navigation, *Journal of Lightwave Technology*, 2022, vol. 40, no. 22, pp. 7464–7470, doi: 10.1109/JLT.2022.3201189.
- **13.** Chamoun, J. and Digonnet, M.J.F., Aircraft-navigation-grade laser-driven FOG with Gaussian-noise phase modulation, *Opt. Lett.*, 2017, vol. 42, no. 8, pp. 1600–1603.
- **14. Wheeler, J.M. and Digonnet, M.J.F.,** A Low-Drift Laser-Driven FOG Suitable for Trans-Pacific Inertial Navigation, *Journal of Lightwave Technology*, 2022, vol. 40, no. 22, pp. 7464–7470, doi: 10.1109/JLT.2022.3201189.
- **15.** Wheeler, J.M., Chamoun, J.N., and Digonnet, M.J.F., Optimizing Coherence Suppression in a Laser Broadened by Phase Modulation With Noise, *Journal of Lightwave Technology*, 2021, vol. 39, no. 9, pp. 2994–3001, doi: 10.1109/JLT.2021.3061938.
- 16. Ошлаков В.С., Алейник А.С., Волковский С.А., Стригалев В.Е., Мухтубаев А.Б. Применение полупроводникового лазерного диода в качестве источника оптического излучения волоконно-оптического гироскопа // Оптический журнал. 2025. Т. 92. № 8. С. 21–31. http://doi.org/10.17586/1023-5086-2025-92-08-21-31.
- Njegovec, M. and Donlagic, D., Rapid and broad wavelength sweeping of standard telecommunication distributed feedback laser diode, Opt. Lett., 2013, vol. 38, no. 11, pp. 1999–2001.
- 18. Ошлаков В.С., Алейник А.С., Волковский С.А., Смирнов Д.С. Исследование характеристик полупроводникового лазерного диода с распределенной обратной связью в режиме источника и приемника оптического излучения для регистрации отклика волоконных решеток Брэгта // Научнотехнический вестник информационных технологий, механики и оптики. 2024. Т. 24, № 5. С. 699–708, doi: 10.17586/2226-1494-2024-24-5-699-708.
- Егоров Д.А., Ключникова Е.Л. Результаты сравнительных исследований источников оптического излучения для волоконно-оптических гироскопов // Гироскопия и навигация. 2022. Т. 30. №4 (119). С.184–192. DOI: 10.17285/0869-7035.00111.

Aleinik, A.S., Volkovsky, S.A., Oshlakov, V.S., Mukhtubaev, A.B., Strigalev, V.E. (ITMO University, St. Petersburg)

Navigation-Grade Laser-Driven Fiber-Optic Gyroscope, *Giroskopiya i Navigatsiya*, 2025, vol. 33, no. 3 (130), pp. 103–111.

Abstract. The scale factor stability of a fiber-optic gyroscope (FOG) directly depends on the stability of the central wavelength of its optical source. Although broadband, highly stable light sources used in high-precision FOGs provide excellent wavelength stability, they are typically bulky, which complicates the miniaturization of FOGs and FOG-based systems. This work investigates the use of a semiconductor laser diode with pulse-frequency current modulation in a navigation-grade FOG. It is shown that this approach provides superior central-wavelength stability (better than 1.6 ppm), resulting in a FOG angle random walk and bias instability of 0.002°/?h and 0.009°/h, respectively. Comparable performance can be obtained in FOGs employing broadband, highly stable light sources.

Key words: optical sources, spectral characteristics, fiber-optic gyroscope, scale factor stability.

Материал поступил 15.09.2025